

# Émission d'axions à partir de matières étranges dans les supernovae (SNe) à effondrement de cœur

Maël Cavan - LAPTh (Annecy)

supervisé par Diego Guadagnoli

# Modèle Standard

	masse →	charge →	spin →	
QUARKS	2.3 MeV	$\frac{2}{3}$	$\frac{1}{2}$	<b>u</b> up
	1.275 GeV	$\frac{2}{3}$	$\frac{1}{2}$	<b>c</b> charmé
	173 GeV	$\frac{2}{3}$	$\frac{1}{2}$	<b>t</b> top
	0	0	1	<b>g</b> gluon
	4.8 MeV	$-\frac{1}{3}$	$\frac{1}{2}$	<b>d</b> down
	95 MeV	$-\frac{1}{3}$	$\frac{1}{2}$	<b>s</b> étrange
LEPTONS	4.18 GeV	$-\frac{1}{3}$	$\frac{1}{2}$	<b>b</b> bottom
	0	0	1	<b>γ</b> photon
	0.511 MeV	-1	$\frac{1}{2}$	<b>e</b> électron
	105.7 MeV	-1	$\frac{1}{2}$	<b>μ</b> muon
	1.777 GeV	-1	$\frac{1}{2}$	<b>τ</b> tau
	91.2 GeV	0	1	<b>Z</b> boson Z
BOSONS	< 2.2 eV	0	$\frac{1}{2}$	<b>ν<sub>e</sub></b> neutrino électronique
	< 0.17 eV	0	$\frac{1}{2}$	<b>ν<sub>μ</sub></b> neutrino muonique
	< 0.18 eV	0	$\frac{1}{2}$	<b>ν<sub>τ</sub></b> neutrino tau
	80.4 GeV	$\pm 1$	1	<b>W</b> boson W
	126 GeV	0	0	<b>H</b> Higgs

# Modèle Standard

Points forts :

- théorie extrêmement précise,
- prédictions validées (Higgs),
- ...

	masse → 2.3 MeV charge → $\frac{2}{3}$ spin → $\frac{1}{2}$	1.275 GeV $\frac{2}{3}$ $\frac{1}{2}$	173 GeV $\frac{2}{3}$ $\frac{1}{2}$	0 0 1
	u up	c charmé	t top	g gluon
QUARKS	4.8 MeV $-\frac{1}{3}$ $\frac{1}{2}$	95 MeV $-\frac{1}{3}$ $\frac{1}{2}$	4.18 GeV $-\frac{1}{3}$ $\frac{1}{2}$	0 0 1
	d down	s étrange	b bottom	$\gamma$ photon
	0.511 MeV -1 $\frac{1}{2}$	105.7 MeV -1 $\frac{1}{2}$	1.777 GeV -1 $\frac{1}{2}$	91.2 GeV 0 1
	e électron	$\mu$ muon	$\tau$ tau	Z boson Z
LEPTONS	< 2.2 eV 0 $\frac{1}{2}$	< 0.17 eV 0 $\frac{1}{2}$	< 0.18 eV 0 $\frac{1}{2}$	80.4 GeV $\pm 1$ 1
	$\nu_e$ neutrino électronique	$\nu_\mu$ neutrino muonique	$\nu_\tau$ neutrino tau	W boson W
				126 GeV 0 0
				H Higgs
				BOSONS

masse → charge → spin →	2.3 MeV 2/3 1/2	1.275 GeV 2/3 1/2	173 GeV 2/3 1/2	0 0 1
	u	c	t	g
	up	charmé	top	gluon
QUARKS	4.8 MeV -1/3 1/2	95 MeV -1/3 1/2	4.18 GeV -1/3 1/2	0 0 1
	d	s	b	γ
	down	étrange	bottom	photon
LEPTONS	0.511 MeV -1 1/2	105.7 MeV -1 1/2	1.777 GeV -1 1/2	91.2 GeV 0 1
	e	μ	τ	Z
	électron	muon	tau	boson Z
LEPTONS	< 2.2 eV 0 1/2	< 0.17 eV 0 1/2	< 0.18 eV 0 1/2	80.4 GeV ±1 1
	ν <sub>e</sub>	ν <sub>μ</sub>	ν <sub>τ</sub>	W
	neutrino électronique	neutrino muonique	neutrino tau	boson W
			126 GeV 0 0	H
				Higgs
			BOSONS	

Points forts :

- théorie extrêmement précise,
- prédictions validées (Higgs),
- ...

Points faibles :

- matière noire,
- énergie noire,
- gravité quantique,
- asymétrie matière-antimatière,
- problème du CP fort :  
 $C = p \rightarrow \bar{p}$  ;  $P = \vec{x} \rightarrow -\vec{x}$ ,
- ...

- Parmi les particules légères,  
l'axion QCD est particulièrement bien motivé, il
- résout, grâce à une symétrie, la question de pourquoi la force forte ne viole pas CP
  - constitue un excellent candidat pour la matière noire
  - ...



Les observables sont proportionnelles à

$$\left( \frac{\text{impulsions externes}}{f_a} \right)^2$$

Les observables sont proportionnelles à

$$\left( \frac{\text{impulsions externes}}{f_a} \right)^2$$

↑

$f_a$  grand pour l'axion QCD ( $\gtrsim 10^9$  GeV)

Les observables sont proportionnelles à

$$\left( \frac{\text{impulsions externes}}{f_a} \right)^2$$

↑

$f_a$  grand pour l'axion QCD ( $\gtrsim 10^9$  GeV)

⇒ Les interactions axion-matière sont généralement minuscules -  
aux collisionneurs

Les observables sont proportionnelles à

$$\left( \frac{\text{impulsions externes}}{f_a} \right)^2$$

↑

$f_a$  grand pour l'axion QCD ( $\gtrsim 10^9$  GeV)

⇒ Les interactions axion-matière sont généralement minuscules -  
aux collisionneurs

Des objets astrophysiques suffisamment denses et chauds  
peuvent émettre une grande quantité d'axions  
⇒ ils refroidissent plus rapidement que prévu à partir des  
mécanismes établis (ex : neutrinos)

# Comment les SNe contraignent l'axion ?

Les SNe (avec l'effondrement du noyau) se démarquent en tant que sondes importantes de l'axion QCD

# Comment les SNe contraignent l'axion ?

Les SNe (avec l'effondrement du noyau) se démarquent en tant que sondes importantes de l'axion QCD

Le sursaut de neutrinos associé à SN 1987A contraint fortement les sources exotiques de refroidissement de SN

# Comment les SNe contraignent l'axion ?

Les SNe (avec l'effondrement du noyau) se démarquent en tant que sondes importantes de l'axion QCD

Le sursaut de neutrinos associé à SN 1987A contraint fortement les sources exotiques de refroidissement de SN

Contrainte :  $Q_a < Q_\nu$  [voir Phys. Rept. de Raffelt]  
(émissivité ( $Q_i$ ) = puissance rayonnée dans la particule  $i$  par unité de volume)

# Comment les SNe contraignent l'axion ?

Les SNe (avec l'effondrement du noyau) se démarquent en tant que sondes importantes de l'axion QCD

Le sursaut de neutrinos associé à SN 1987A contraint fortement les sources exotiques de refroidissement de SN

Contrainte :  $Q_a < Q_\nu$  [voir Phys. Rept. de Raffelt]  
(émissivité ( $Q_i$ ) = puissance rayonnée dans la particule  $i$  par unité de volume)

$Q_\nu$  est intrinsèquement difficile à estimer

$$Q_\nu \sim L_\nu \frac{\rho}{M} \sim \frac{GM^{2/3} \rho^{4/3}}{2t_\nu} \sim 3 \times 10^{33} \text{ erg.s}^{-1}.\text{cm}^{-3}$$

$$\text{avec } \rho \sim \rho_{\text{cœur}} \sim 3 - 8 \times 10^{14} \text{ g/cm}^3, M \sim M_\odot.$$

$$Q_a = \int \left[ \begin{array}{c} \text{élément} \\ \text{espace} \\ \text{des phases} \end{array} \right] \times E_a \times \left| \begin{array}{c} \text{élément de} \\ \text{matrice du} \\ \text{processus de} \\ \text{production} \\ \text{d'axions} \end{array} \right|^2 \times \left[ \begin{array}{c} \text{fonction de} \\ \text{distribution} \\ \text{des états} \\ \text{externes} \end{array} \right]$$

$$Q_a = \int \left[ \begin{array}{c} \text{élément} \\ \text{espace} \\ \text{des phases} \end{array} \right] \times E_a \times \left| \begin{array}{c} \text{élément de} \\ \text{matrice du} \\ \text{processus de} \\ \text{production} \\ \text{d'axions} \end{array} \right|^2 \times \left[ \begin{array}{c} \text{fonction de} \\ \text{distribution} \\ \text{des états} \\ \text{externes} \end{array} \right]$$

Calculable avec des hypothèses :

- Les fonctions de distribution ne sont pas évidentes en dehors de l'hypothèse des gaz parfaits.
- Effets dans le milieu : utilisation de quantités effectives comme dans l'approche du champ moyen ( $\mu^*$ ,  $m^*$ ,  $E^*$ ).

La contrainte la plus établie est obtenue à partir du nucléon-axionstrahlung ( $N + N \rightarrow N + N + a$ ) [Ericson, Mathiot, 1989 ; Carena *et al.*, 2019 ; Caputo, Raffelt, 2024]

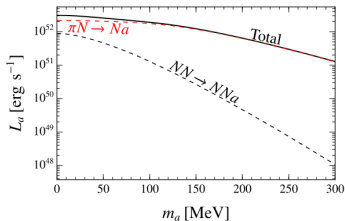
La contrainte la plus établie est obtenue à partir du nucléon-axionstrahlung ( $N + N \rightarrow N + N + a$ ) [Ericson, Mathiot, 1989 ; Carena *et al.*, 2019 ; Caputo, Raffelt, 2024]

Cependant, la littérature récente suggère que les processus de diffusion  $\pi N$  ( $\pi + N \rightarrow N + a$ ) pourraient être dominants.

[Carena *et al.*, 2020]

$\rho$		$\bar{g}_{aN}$ ( $\times 10^{-9}$ )	$m_a$ (meV)	$f_a$ ( $\times 10^8$ GeV)
$\rho_0$	only $NN$	0.81	21.02	2.71
	$\pi N + NN$	0.46	11.99	4.75
$\rho_0/2$	only $NN$	0.93	24.11	2.36
	$\pi N + NN$	0.42	10.96	5.20

[Lella *et al.*, 2022]



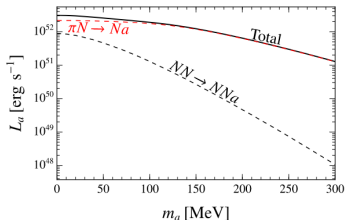
La contrainte la plus établie est obtenue à partir du nucléon-axionstrahlung ( $N + N \rightarrow N + N + a$ ) [Ericson, Mathiot, 1989 ; Carena *et al.*, 2019 ; Caputo, Raffelt, 2024]

Cependant, la littérature récente suggère que les processus de diffusion  $\pi N$  ( $\pi + N \rightarrow N + a$ ) pourraient être dominants.

[Carena *et al.*, 2020]

$\rho$		$\bar{g}_{aN}$ ( $\times 10^{-9}$ )	$m_a$ (meV)	$f_a$ ( $\times 10^8$ GeV)
$\rho_0$	only $NN$	0.81	21.02	2.71
	$\pi N + NN$	0.46	11.99	4.75
$\rho_0/2$	only $NN$	0.93	24.11	2.36
	$\pi N + NN$	0.42	10.96	5.20

[Lella *et al.*, 2022]



Première étude avec matière étrange  $\Lambda \rightarrow n + a$  [Camalich *et al.*]

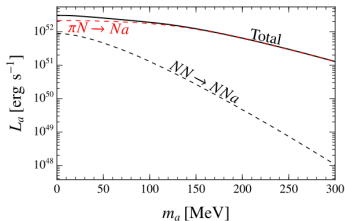
La contrainte la plus établie est obtenue à partir du nucléon-axionstrahlung ( $N + N \rightarrow N + N + a$ ) [Ericson, Mathiot, 1989 ; Carena *et al.*, 2019 ; Caputo, Raffelt, 2024]

Cependant, la littérature récente suggère que les processus de diffusion  $\pi N$  ( $\pi + N \rightarrow N + a$ ) pourraient être dominants.

[Carena *et al.*, 2020]

$\rho$		$\bar{g}_{aN}$ ( $\times 10^{-9}$ )	$m_a$ (meV)	$f_a$ ( $\times 10^8$ GeV)
$\rho_0$	only $NN$	0.81	21.02	2.71
	$\pi N + NN$	0.46	11.99	4.75
$\rho_0/2$	only $NN$	0.93	24.11	2.36
	$\pi N + NN$	0.42	10.96	5.20

[Lella *et al.*, 2022]



Première étude avec matière étrange  $\Lambda \rightarrow n + a$  [Camalich *et al.*]

Études couplage par couplage sans vue d'ensemble cohérente.

Les quarks :  $\begin{pmatrix} u \text{ (2.3 MeV)} \\ d \text{ (4.8 MeV)} \end{pmatrix}$   $\begin{pmatrix} c \text{ (1.3 GeV)} \\ s \text{ (95 MeV)} \end{pmatrix}$   $\begin{pmatrix} t \text{ (173 GeV)} \\ b \text{ (4.18 GeV)} \end{pmatrix}$

Les quarks :  $\left( \begin{array}{l} u \text{ (2.3 MeV)} \\ d \text{ (4.8 MeV)} \end{array} \right) \left( \begin{array}{l} c \text{ (1.3 GeV)} \\ s \text{ (95 MeV)} \end{array} \right) \left( \begin{array}{l} t \text{ (173 GeV)} \\ b \text{ (4.18 GeV)} \end{array} \right)$

Ils peuvent s'assembler en hadrons :

mésons :  $q_i \bar{q}_j$  (quark - anti-quark)

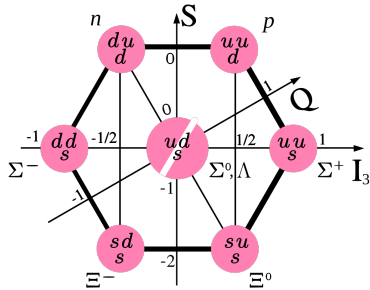
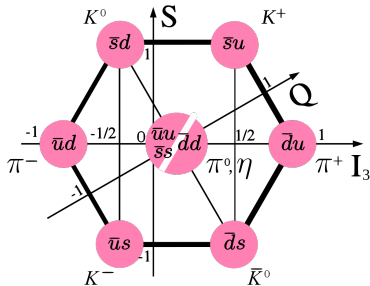
baryons :  $q_i q_j q_k$  (3 quarks)

Les quarks :  $\begin{pmatrix} u (2.3 \text{ MeV}) \\ d (4.8 \text{ MeV}) \end{pmatrix}$   $\begin{pmatrix} c (1.3 \text{ GeV}) \\ s (95 \text{ MeV}) \end{pmatrix}$   $\begin{pmatrix} t (173 \text{ GeV}) \\ b (4.18 \text{ GeV}) \end{pmatrix}$

Ils peuvent s'assembler en hadrons :

mésons :  $q_i \bar{q}_j$  (quark - anti-quark)

baryons :  $q_i q_j q_k$  (3 quarks)



L'une des questions ouvertes est le rôle de la matière au-delà de la 1ère génération, car la différence de masse des hadrons est faible.

$$(m_{\pi} \sim 140 \text{ MeV}, m_K \sim 500 \text{ MeV}, m_{\eta} \sim 550 \text{ MeV})$$

$$(m_N \sim 0.94 \text{ GeV}, m_{\Lambda} \sim 1.1 \text{ GeV}, m_{\Sigma} \sim 1.2 \text{ GeV}, m_{\Xi} \sim 1.3 \text{ GeV})$$

L'une des questions ouvertes est le rôle de la matière au-delà de la 1ère génération, car la différence de masse des hadrons est faible.

$$(m_{\pi} \sim 140 \text{ MeV}, m_K \sim 500 \text{ MeV}, m_{\eta} \sim 550 \text{ MeV})$$

$$(m_N \sim 0.94 \text{ GeV}, m_{\Lambda} \sim 1.1 \text{ GeV}, m_{\Sigma} \sim 1.2 \text{ GeV}, m_{\Xi} \sim 1.3 \text{ GeV})$$

Nous avons effectué la première étude de l'émission d'axions à partir de matière étrange au sein des SNe.

L'une des questions ouvertes est le rôle de la matière au-delà de la 1ère génération, car la différence de masse des hadrons est faible.

$$(m_{\pi} \sim 140 \text{ MeV}, m_K \sim 500 \text{ MeV}, m_{\eta} \sim 550 \text{ MeV})$$

$$(m_N \sim 0.94 \text{ GeV}, m_{\Lambda} \sim 1.1 \text{ GeV}, m_{\Sigma} \sim 1.2 \text{ GeV}, m_{\Xi} \sim 1.3 \text{ GeV})$$

Nous avons effectué la première étude de l'émission d'axions à partir de matière étrange au sein des SNe.

Nos conclusions doivent être prouvées robustes par rapport à la modélisation de :

- **Interaction axion-hadron :**

Nous abordons cette question dans une approche EFT cohérente.

- **Équation d'état (EoS) et thermodynamique :**

Nous considérons différents EoS et faisons également varier les paramètres thermodynamiques.

Nous calculons l'émission d'axions à partir des octets complets de mésons (M) et de baryons (B) via :

- $B_i + M \rightarrow B_f + a$
- $B_i \rightarrow B_f + a$

Nous calculons l'émission d'axions à partir des octets complets de mésons ( $M$ ) et de baryons ( $B$ ) via :

- $B_i + M \rightarrow B_f + a$
- $B_i \rightarrow B_f + a$

Argument intuitif expliquant pourquoi cela a un impact :

— Chaque processus contribue positivement à  $Q_a^{\text{tot}}$

→ le grand nombre de processus ( $\sim 100$ ) donne une contrainte pertinente — même si les fractions de  $B_i$ ,  $B_f$ , ou  $M$  sont petites ( $< 10^{-2}$ ).

L'interaction axion-hadron est formalisée de manière consistante dans ChPT+a [Georgi, Kaplan, Randall, 1986]

# Interaction axion-hadron

L'interaction axion-hadron est formalisée de manière consistante dans ChPT+a [Georgi, Kaplan, Randall, 1986]

$$\mathcal{L}_{axion-quark} = \frac{\partial_\mu a}{f_a} \bar{q} (k_R \gamma_R^\mu + k_L \gamma_L^\mu) q$$

faible ↓ énergie

$$\mathcal{L}_{axion-hadron} = \frac{\partial_\mu a}{f_a} \left( x_R^b(k_R) J_R^{\mu,b}(U; B) + x_L^b(k_L) J_L^{\mu,b}(U; B) \right)$$

↑  
couplages axion-hadron  
paramétrisés en termes de  
des couplages fondamentaux  
axion-quarks

↑ ↑  
champs d'octet  
de mésons

↑  
champs d'octet  
de baryons

Les interactions axion-hadron et leurs couplages sont fixés par les symétries globales (c'est-à-dire sous forme de courants de Noether).

Haute énergie:  $\mu \gg \Lambda_{QCD}$

$$\mathcal{L}_{aqq} = \frac{\partial_\mu a}{f_a} \sum_{i=L,R} \bar{q}_i \gamma^\mu k_i q_i$$

Basse énergie:  $\mu \ll \Lambda_{QCD}$

$$\mathcal{L}_{aUB} = \frac{\partial_\mu a}{f_a} \sum_{i=L,R} x_i^b(k_i) J_i^{\mu,b}(U; B)$$

Par conservation de la charge et hermiticité, nous avons 10 paramètres

$$k_{V,A}^{11, 22, 33, 23 \& 32}$$

$$k_{V,A} = \begin{pmatrix} k^{11} & 0 & 0 \\ 0 & k^{22} & k^{23} \\ 0 & \bar{k}^{23} & k^{33} \end{pmatrix}_{V,A}$$

Haute énergie:  $\mu \gg \Lambda_{QCD}$

$$\mathcal{L}_{aqq} = \frac{\partial_\mu a}{f_a} \sum_{i=L,R} \bar{q}_i \gamma^\mu k_i q_i$$

Basse énergie:  $\mu \ll \Lambda_{QCD}$

$$\mathcal{L}_{aUB} = \frac{\partial_\mu a}{f_a} \sum_{i=L,R} x_i^b(k_i) J_i^{\mu,b}(U; B)$$

Par conservation de la charge et hermiticité, nous avons 10 paramètres

$$k_{V,A}^{11, 22, 33, 23 \& 32}$$

$$k_{V,A} = \begin{pmatrix} k^{11} & 0 & 0 \\ 0 & k^{22} & k^{23} \\ 0 & \bar{k}^{23} & k^{33} \end{pmatrix}_{V,A}$$

- $k_V^{ii}$  : inobservables sauf pour les contributions d'interaction faible (supprimées par  $G_F F_0^2 \sim 10^{-7}$ ) [Bauer *et al.*, 2021]

Haute énergie:  $\mu \gg \Lambda_{QCD}$

$$\mathcal{L}_{aqq} = \frac{\partial_\mu a}{f_a} \sum_{i=L,R} \bar{q}_i \gamma^\mu k_i q_i$$

Basse énergie:  $\mu \ll \Lambda_{QCD}$

$$\mathcal{L}_{aUB} = \frac{\partial_\mu a}{f_a} \sum_{i=L,R} x_i^b(k_i) J_i^{\mu,b}(U; B)$$

Par conservation de la charge et hermiticité, nous avons 10 paramètres

$$k_{V,A}^{11, 22, 33, 23 \& 32}$$

$$k_{V,A} = \begin{pmatrix} k^{11} & 0 & 0 \\ 0 & k^{22} & k^{23} \\ 0 & \bar{k}^{23} & k^{33} \end{pmatrix}_{V,A}$$

- $k_V^{ii}$  : inobservables sauf pour les contributions d'interaction faible (supprimées par  $G_F F_0^2 \sim 10^{-7}$ ) [Bauer *et al.*, 2021]
- $|k_V^{23}|$  :  $Q_a$  contraint moins que  $\Gamma(K \rightarrow \pi + a)$

Haute énergie:  $\mu \gg \Lambda_{QCD}$

$$\mathcal{L}_{aqq} = \frac{\partial_\mu a}{f_a} \sum_{i=L,R} \bar{q}_i \gamma^\mu k_i q_i$$

Basse énergie:  $\mu \ll \Lambda_{QCD}$

$$\mathcal{L}_{aUB} = \frac{\partial_\mu a}{f_a} \sum_{i=L,R} x_i^b(k_i) J_i^{\mu,b}(U; B)$$

Par conservation de la charge et hermiticité, nous avons 10 paramètres

$$k_{V,A}^{11, 22, 33, 23 \& 32}$$

$$k_{V,A} = \begin{pmatrix} k^{11} & 0 & 0 \\ 0 & k^{22} & k^{23} \\ 0 & \bar{k}^{23} & k^{33} \end{pmatrix}_{V,A}$$

- $k_V^{ii}$  : inobservables sauf pour les contributions d'interaction faible (supprimées par  $G_F F_0^2 \sim 10^{-7}$ ) [Bauer *et al.*, 2021]
- $|k_V^{23}|$  :  $Q_a$  contraint moins que  $\Gamma(K \rightarrow \pi + a)$
- $arg(k_{V,A}^{23})$  : non contraint par  $Q_a$  pour nos processus

Haute énergie:  $\mu \gg \Lambda_{QCD}$

$$\mathcal{L}_{aqq} = \frac{\partial_{\mu} a}{f_a} \sum_{i=L,R} \bar{q}_i \gamma^{\mu} k_i q_i$$

Basse énergie:  $\mu \ll \Lambda_{QCD}$

$$\mathcal{L}_{aUB} = \frac{\partial_{\mu} a}{f_a} \sum_{i=L,R} x_i^b(k_i) J_i^{\mu,b}(U; B)$$

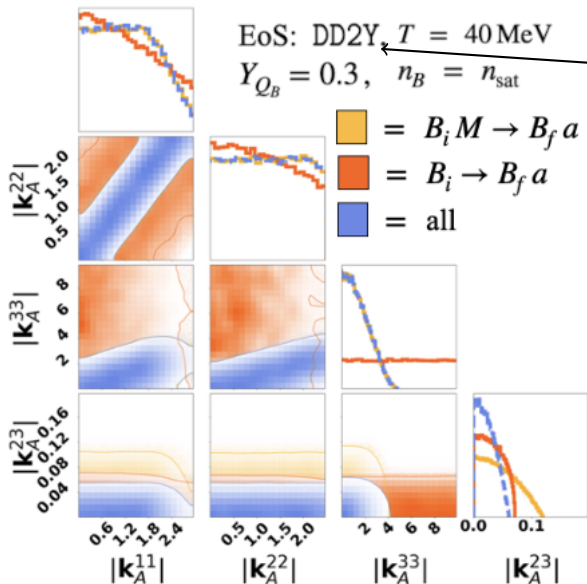
Par conservation de la charge et hermiticité, nous avons 10 paramètres

$$k_{V,A}^{11, 22, 33, 23 \& 32}$$

$$k_{V,A} = \begin{pmatrix} k^{11} & 0 & 0 \\ 0 & k^{22} & k^{23} \\ 0 & \bar{k}^{23} & k^{33} \end{pmatrix}_{V,A}$$

- $k_V^{ii}$  : inobservables sauf pour les contributions d'interaction faible (supprimées par  $G_F F_0^2 \sim 10^{-7}$ ) [Bauer *et al.*, 2021]
- $|k_V^{23}|$  :  $Q_a$  contraint moins que  $\Gamma(K \rightarrow \pi + a)$
- $arg(k_{V,A}^{23})$  : non contraint par  $Q_a$  pour nos processus

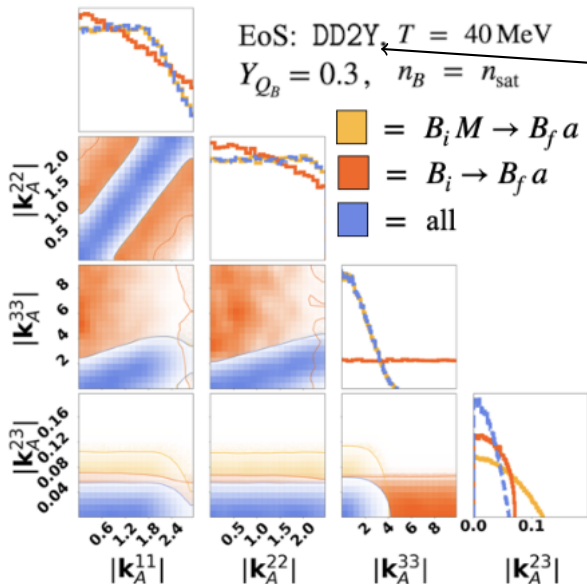
$k_A^{ii}$  et  $|k_A^{23}|$  : contraints par  $Q_a$



Deux modèles d'EoS alternatifs, avec différents contenus d'étrangeté.

Couplages uniquement contraints par les données :

- Refroidissement de NS
- Désintégration de mésons  $K$
- Notre  $Q_a$



Deux modèles d'EoS alternatifs, avec différents contenus d'étrangeté.

Couplages uniquement contraints par les données :

- Refroidissement de NS
- Désintégration de mésons  $K$
- Notre  $Q_a$

Principaux résultats :

- Limites sur  $|k_A^{23}|$
- $k_A^{ii} \leftrightarrow k_A^{jj}$

TABLE I:  $Q_a$  bounds on  $|(\mathbf{k}_A)_{23,33}|$ , assuming  $f_a = 10^9$  GeV. The larger boldfaced vs. smaller value quoted in each table entry refers to the EoS model being considered, DD2Y vs. SFHoY.

$\mathbf{k}$ coupling	$n_B = n_{\text{sat}}$		$n_B = 1.5 n_{\text{sat}}$	
	30 MeV	40 MeV	30 MeV	40 MeV
$ (\mathbf{k}_A)_{23} $	0.35 <b>0.15</b>	0.12 <b>0.061</b>	0.38 <b>0.097</b>	0.14 <b>0.052</b>
$ (\mathbf{k}_A)_{33} $	8.8 <b>8.9</b>	4.4 <b>4.8</b>	5.9 <b>3.9</b>	3.1 <b>2.9</b>

$k_A^{11}$  et  $k_A^{22}$  sont contraints par des données d'étoiles à neutrons isolées [Buschmann *et al.*]

Ces limites sont "transférées" à  $k_A^{33}$  par le biais de  $Q_a$ .

Limites précédentes dans la littérature :

$$|(k_A)_{23}| < 50 \text{ (mélange } K - \bar{K}) \quad \text{et} \quad |(k_A)_{33}| < ?$$

- Les SNe sont d'excellentes sondes pour la physique fondamentale, en particulier pour les extensions du modèle standard.
- Les SNe permettent également d'étudier l'interaction au-delà de la première génération.
- Des progrès dans la compréhension des sources sont nécessaires pour aller au-delà des limites approximatives. (Cependant, ces limites sont déjà très contraignantes.)

- Mieux comprendre le baryon-axionstrahlung, en particulier la résonance du propagateur mésonique.
- Explorer davantage la dépendance thermodynamique.
- Étudier l'émission d'axions via d'autres objets compacts (exemple : étoiles à neutrons).
- Analyser comment cette potentielle émission d'axions pourrait être détectable.
- ...

Merci !



$$dQ_a = \left( \prod_{i=1}^{n_i} \frac{f_i d^3 \vec{p}_i}{(2\pi)^3 2E_i} \right) \left( \prod_{f=1}^{n_f} \frac{\bar{f}_f d^3 \vec{p}_f}{(2\pi)^3 2E_f} \right) |\mathcal{M}_{fi}|^2 (2\pi)^4 \delta^4(P_i - P_f)$$

Type of particle	$f_k$	$\bar{f}_k$
Axion	0	1
Bosons	$(e^{(E_k - \mu_k)/T} - 1)^{-1}$	$1 + f_k$
Fermions	$(e^{(E_k - \mu_k)/T} + 1)^{-1}$	$1 - f_k$

$$\gamma_i^\mu = \bar{P}_i \gamma^\mu P_i \Rightarrow \gamma_L^\mu = P_R \gamma^\mu P_L, \quad \gamma_R^\mu = P_L \gamma^\mu P_R \quad (1)$$

$$\mathcal{L}_{aqq} = \frac{\partial_\mu a}{f_a} \bar{q} (k_R \gamma_R^\mu + k_L \gamma_L^\mu) q \quad (2)$$

$$= \frac{\partial_\mu a}{f_a} \bar{q} \gamma^\mu (k_V + k_A \gamma_5) q \quad (3)$$

$$= \frac{a}{f_a} \bar{q} ([k_V; M_q] + \{k_A; M_q\} \gamma_5) q + \partial_\mu O^\mu \quad (4)$$

$$k_V = k_R + k_L \quad \& \quad k_A = k_R - k_L \quad (5)$$

Conservation of charge,  $k_{A,V}$  hermitian and (4) imply we can choose

$$k_A = \begin{pmatrix} k_A^{11} & 0 & 0 \\ 0 & k_A^{22} & k_A^{23} \\ 0 & \bar{k}_A^{23} & k_A^{33} \end{pmatrix}, \quad k_V = \begin{pmatrix} 0 & 0 & 0 \\ 0 & 0 & k_V^{23} \\ 0 & \bar{k}_V^{23} & 0 \end{pmatrix} \quad (6)$$

7 free parameters !

To interpret our results we used two theoretical models (for QCD axion  $m_a \ll T$  and  $f_a = 10^9$  GeV) :

- **Flavor model** where we assume the flaxion/axiflavor model
- **Agnostic model** where we assume experimental bounds from previous analysis

$$(|k_V^{23}| < 3 \times 10^{-3}, |k_A^{23}| < 100, |k_A^{11}| < 3, |k_A^{22}| < 2.5, |k_A^{33}|?)$$

In the agnostic model, the bounds over  $k_A^{11}$  and  $k_A^{22}$  propagate on  $k_A^{33}$  via the correlations.

The SNe core is understood as a thermodynamic system therefore dependent on local variables  $T$ ,  $n_B$  and  $Y_e$ .

Local values  $T$ ,  $n_B$ ,  $Y_e$  make it possible to determine point per point the effective quantities according to the equation of state (EoS) here DD2Y or SFHoY (more strange matter than DD2Y) [Oertel *et al.*, 2016]

We consider the global values  $T$ ,  $n_B$ ,  $Y_{Q_B}$  ( $Y_{Q_B}$  correlates with  $Y_e$ ).

Different standard scenarios:

- DD2Y or SFHoY
- $T \in \{30; 40\}$  MeV
- $n_B \in \{1; 1.5\} n_{sat}$
- $Y_{Q_B} = 0.3$

which corresponds to  $2 \times 2 \times 2 \times 1 = 8$  SNe scenarios

$$Q_a = \alpha_V \left( \frac{|k_V^{23}|}{f_a} \right)^2 + \alpha_A \left( \frac{|k_A^{23}|}{f_a} \right)^2 + \sum_{i=1}^2 \alpha_i \left( \sum_{j=1}^3 \beta_{ij} \frac{k_A^{jj}}{f_a} \right)^2$$

$Q_a < Q_\nu$  (Raffelt bound) implies

- bounds over  $|k_{A,V}^{23}|$
- new correlations between  $k_A^{ii}$

# $B_i + M \rightarrow B_f + a$ diagrams

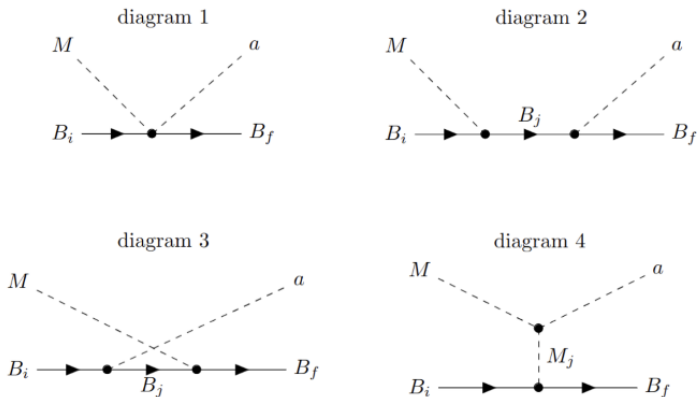


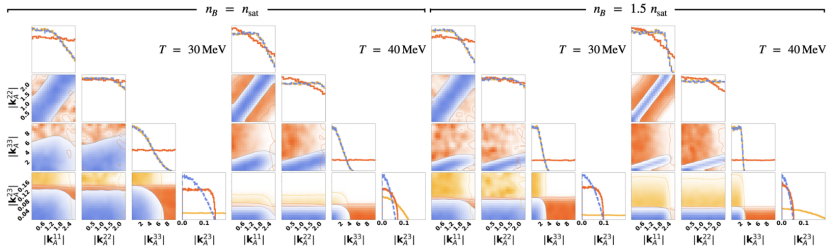
FIG. 1: The diagrams contributing to  $B_i M \rightarrow B_f a$ , with  $B_{i,f}$  initial- or final-state octet baryons,  $M$  octet mesons, and  $a$  the axion.

EoS: DD2Y,  $Y_{Q_0} = 0.3$

■ =  $B_i M \rightarrow B_j a$

■ =  $B_i \rightarrow B_j a$

■ = all



EoS: SFHoY,  $Y_{Q_0} = 0.3$

■ =  $B_i M \rightarrow B_j a$

■ =  $B_i \rightarrow B_j a$

■ = all

